

ドウエル特性を備えた6節リンク機構

竹内 武

Synthesis of Six-bar Link Mechanism with Dwell Motion

Takeshi TAKEUCHI

(Received Dec. 10, 1985)

The four-bar link mechanism has no dwell in the oscillatiog motion of its follower. Therefore, some six-bar link mechanisms were used to stop their followers. In those mechanisms, a method was introduced to determine the length of each link so that the followers might exactly agree with the diagrams shown below. As a result of adopting the method, the following three dwell mechanisms were obtained.

1. 緒言

4つ棒リンク機構の従動節には、クランク、カプラーなどを経て、揺動運動が与えられる。この変位量（角）は、一般に

$$\phi = \tan^{-1} \frac{b \sin \theta}{a + b \cos \theta} + \cos^{-1} \frac{k^2 + 2ab \cos \theta}{2dl}$$

($k^2 = a^2 + b^2 - c^2 + d^2$, $l^2 = a^2 + b^2 + 2ab \cos \theta$, a , b , c , d は各リンクの長さ)¹⁾で示され、従動節は常時揺動運動を行い、瞬時もその運動は停止しない。併し、一般の機械、特に生産機械などにおいては、その主要運動の行程中において、一時停止させ、その間に附加運動が行われている。このため「カム」などによる方式が、実用化されている。この方式は摩耗の発生による運動の不確実性、高速化への困難性などが、生産性と製品の品質の向上への障害になっている。

本研究では、従動節をその最後退時において、ある時間（クランクの回転角で表示）静止させるような6節リンク機構を考え、この機構の設計に必要な各リンクの長さの計算法を求め、試算を試みた。

2. 一般関係式

図一1はドウエル（停留）機能を有する6節リンク機構であるが、リンクの位置ベクトルを示すと、図一2のようで、各節の長さと揺動角は、下記のとおりである。

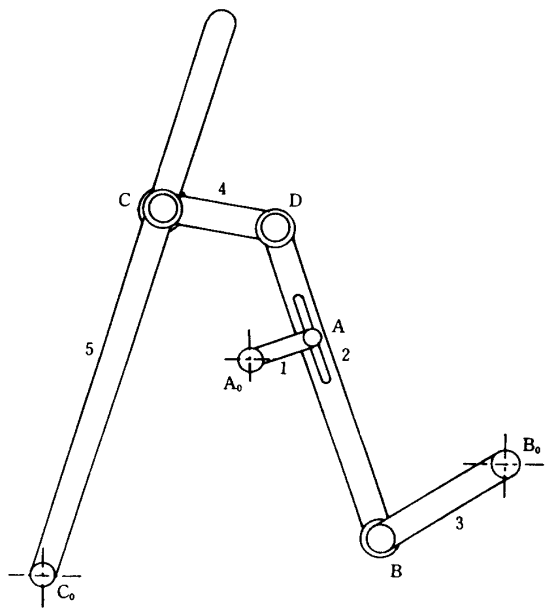


Fig. 1 Six-bar dwell mechanism with a long dwell at the extreme right position.

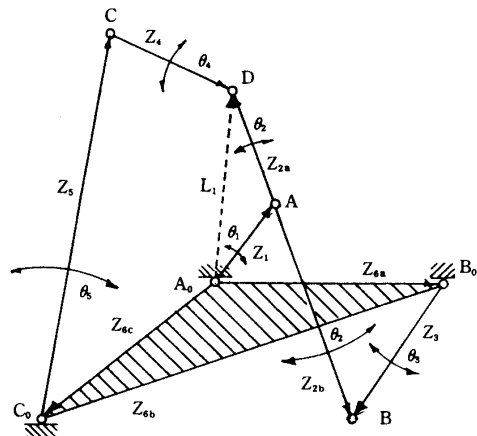


Fig. 2 Vectors to be used in six-bar dwell mechanism in Fig. 1.

	名 称	長 さ	搖動角
1 節	クランク	Z_1	θ_{1j}
2 節	第 1 中間節	Z_2	θ_{2j}
3 節	補助節	Z_3	θ_{3j}
4 節	第 2 中間節	Z_4	θ_{4j}
5 節	従動節	Z_5	θ_{5j}
6 節	固定節	Z_6	θ_{6j}

($j = 2, 3, 4, 5$)

図一3は、変位曲線の1例で、 θ_1, θ_1' は、それぞれ $0^\circ, 360^\circ$ に相当し、 $p_1, p_2, p_3, p_4, p_5, p_5', p_4', p_3', p_2'$ の各点を通過し、 $p_5 \sim p_5'$ をドウエル状態とする変位曲線を示す機構を定めることにする。ただし、 p_2 と p_2' 、 p_3 と p_3' 、 p_4 と p_4' 、 p_5 と p_5' は、それぞれ揺動角を等しくし、 180° に對して對称である点である。

図一2で、変位 L_1 のベクトルを考えると、

$$\left. \begin{aligned} \mathbf{L}_1 &= \mathbf{Z}_{11} + \mathbf{Z}_{2a1} \\ \mathbf{L}_j &= \mathbf{Z}_{1j} + \mathbf{Z}_{2aj} \end{aligned} \right\} \dots \quad (1)$$

(2位の添字は位置を示す)

($j = 2 \cdot 3 \cdot 4 \cdot 5$)

L_j の変位ベクトル δ_j を求めると

$$\boldsymbol{\delta}_j = \mathbf{L}_j - \mathbf{L}_1 = (\mathbf{Z}_{1j} - \mathbf{Z}_{11}) + (\mathbf{Z}_{2aj} - \mathbf{Z}_{2a1})$$

$$\text{ここで } \mathbf{Z}_{1j} = Z_{11} e^{i(\theta_{1j} - \theta_{11})}$$

$$\mathbf{Z}_{2aj} = Z_{2a1} e^{i(\theta_{2j} - \theta_{21})}$$

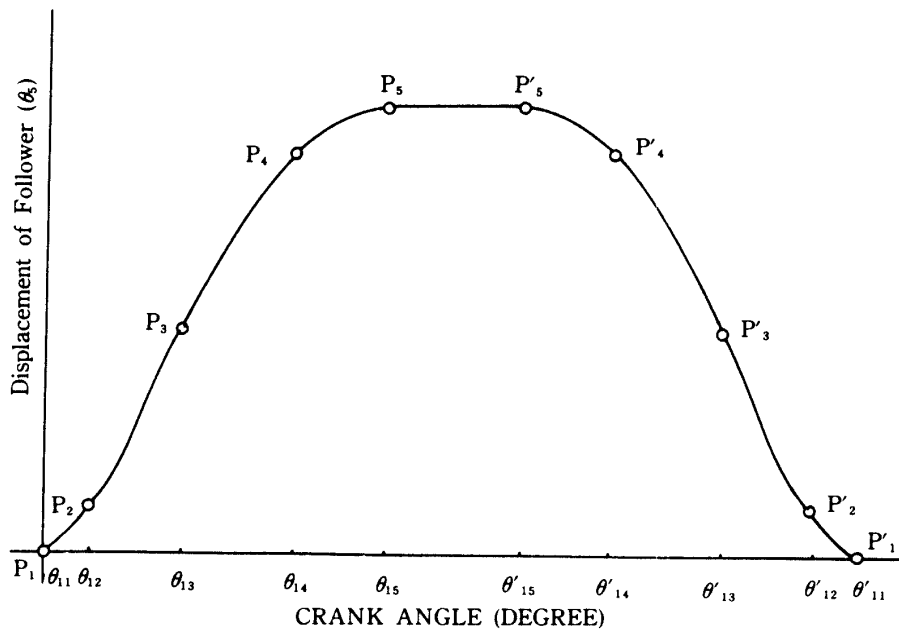


Fig. 3 Displacement curve of follower link and eight accuracy points.

であるから

$$\mu_j = e^{i(\theta_{1j} - \theta_{11})}, \quad \nu_j = e^{i(\theta_{2j} - \theta_{21})}$$

とおくと

$$\text{また, } \left. \begin{aligned} \mathbf{L}_1 &= \mathbf{Z}_{6a1} + \mathbf{Z}_{31} - \mathbf{Z}_{2b1} + \mathbf{Z}_{2a1} \\ \mathbf{L}_j &= \mathbf{Z}_{6aj} + \mathbf{Z}_{3j} - \mathbf{Z}_{2bj} + \mathbf{Z}_{2aj} \end{aligned} \right\} \dots \dots \dots \quad (3)$$

$$\delta_j = L_j - L_1 \quad \text{なれば}$$

$$\begin{aligned}\delta_j &= Z_{31}(\mu_j - 1) - Z_{2b1}(\nu_j - 1) + Z_{2a1}(\nu_j - 1) \\ &= Z_{31}(\mu_j - 1) + Z_{21}(\nu_j - 1) \dots\end{aligned}$$

ただし $|Z_{2b1}| + |Z_{2a1}| = |Z_2|$

$\delta_j = \delta_{jx} + i\delta_{jy}$ (i:虚数単位)なれば

(2) より

(5) よりつきの式が得られる。

ここで $|Z_{11}| = 1$, $|Z_{21}|/|Z_{11}| \equiv m$ とすれば,

$$Z_{11x} \equiv \cos \theta_i \quad , \quad Z_{11y} \equiv \sin \theta_i$$

$$Z_{2g1x} \equiv m\nu_{ix} \quad , \quad Z_{2g1y} \equiv m\nu_{iy}$$

$$\mu_{ix} \equiv \cos \theta_i \quad , \quad \mu_{iy} \equiv \sin \theta_i$$

であるから、(6), (7) はそれぞれ

$$\text{ただし } C = (\delta_{jx} - \cos 2\theta_j + \cos \theta_j)/m$$

$$D = (\delta_{jy} - \sin 2\theta_j + \sin \theta_j)/m$$

(5), (6), (7), (8)での δ_{jx} , δ_{jy} の値は、図-4の関係から求める。 θ'_j は θ_j と従動節の変位値を同じくする角である。

$$\begin{aligned} \delta_{jy} &= \sin \frac{1}{2} (\theta_j + \theta'_j) \left[\cos \frac{1}{2} (\theta_j - \theta'_j) \pm \sqrt{m^2 - \sin^2 \frac{1}{2} (\theta_j - \theta Z_j)} \right] \\ &\quad - \sin \frac{1}{2} (\theta_1 + \theta'_1) \left[\cos \frac{1}{2} (\theta_1 - \theta'_1) \pm \sqrt{m^2 - \sin^2 \frac{1}{2} (\theta_1 - \theta'_1)} \right] \dots \end{aligned} \quad (10)$$

(5), (6), (7), (8), (9), (10)から ν_{jx} , ν_{jy} の各値は求められる。ついで μ_{jx} の各値を求めるためには、(4)は厳正点に関して、つぎのように示される。

$$\left. \begin{array}{l} \delta_2 = Z_{31}(\mu_2-1) + Z_{21}(\nu_2-1) \\ \delta_3 = Z_{31}(\mu_3-1) + Z_{21}(\nu_3-1) \\ \delta_4 = Z_{31}(\mu_4-1) + Z_{21}(\nu_4-1) \\ \delta_5 = Z_{31}(\mu_5-1) + Z_{21}(\nu_5-1) \end{array} \right\} \dots \quad (11)$$

$$(11) \text{ より} \quad \begin{vmatrix} \mu_2 - 1 & \nu_2 - 1 & \delta_2 \\ \mu_3 - 1 & \nu_3 - 1 & \delta_3 \\ \mu_4 - 1 & \nu_4 - 1 & \delta_4 \end{vmatrix} = 0 \cdots \cdots (12)$$

$$\text{又} \quad \begin{vmatrix} \mu_2 - 1 & \nu_2 - 1 & \delta_2 \\ \mu_3 - 1 & \nu_3 - 1 & \delta_3 \\ \mu_5 - 1 & \nu_5 - 1 & \delta_5 \end{vmatrix} = 0 \cdots \cdots (13)$$

が得られる。

(12) より

$$\begin{aligned}
 & (\mu_2 - 1) \left| \begin{array}{cc} \nu_3 - 1 & \delta_3 \\ \nu_4 - 1 & \delta_4 \end{array} \right| + (\mu_3 - 1) \left| \begin{array}{cc} \nu_4 - 1 & \delta_4 \\ \nu_2 - 1 & \delta_2 \end{array} \right| \\
 & + (\mu_4 - 1) \left| \begin{array}{cc} \nu_2 - 1 & \delta_2 \\ \nu_3 - 1 & \delta_3 \end{array} \right| = 0
 \end{aligned}$$

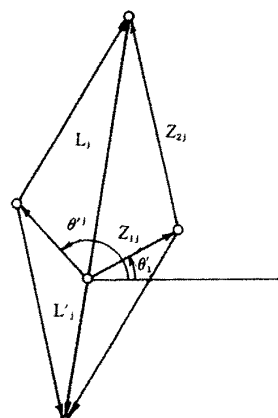


Fig. 4 Determination of I_j and L_j to be changed together with θ_j and θ'_j .

ここで、

$$\begin{aligned} \Delta_2 &= \begin{vmatrix} \nu_3 - 1 & \delta_3 \\ \nu_4 - 1 & \delta_4 \end{vmatrix}, \quad \Delta_3 = \begin{vmatrix} \nu_4 - 1 & \delta_4 \\ \nu_2 - 1 & \delta_2 \end{vmatrix}, \quad \Delta_4 = \begin{vmatrix} \nu_2 - 1 & \delta_2 \\ \nu_3 - 1 & \delta_3 \end{vmatrix} \\ \Delta_1 &= -(\Delta_2 + \Delta_3 + \Delta_4) \quad \text{とおくと} \\ \Delta_1 + \mu_2 \Delta_2 + \mu_3 \Delta_3 + \mu_4 \Delta_4 &= 0 \quad \dots \dots \dots \quad (14) \end{aligned}$$

同じように(13)より

$$(\mu_2 - 1) \begin{vmatrix} \nu_3 - 1 & \delta_3 \\ \nu_5 - 1 & \delta_5 \end{vmatrix} + (\mu_3 - 1) \begin{vmatrix} \nu_5 - 1 & \delta_5 \\ \nu_2 - 1 & \delta_2 \end{vmatrix} + (\mu_5 - 1) \begin{vmatrix} \nu_2 - 1 & \delta_2 \\ \nu_3 - 1 & \delta_3 \end{vmatrix} = 0$$

$$\text{上式で } \Delta_2' = \begin{vmatrix} \nu_3 - 1 & \delta_3 \\ \nu_5 - 1 & \delta_5 \end{vmatrix}, \quad \Delta_3' = \begin{vmatrix} \nu_5 - 1 & \delta_5 \\ \nu_2 - 1 & \delta_2 \end{vmatrix}, \quad \Delta_5' = \begin{vmatrix} \nu_2 - 1 & \delta_2 \\ \nu_3 - 1 & \delta_3 \end{vmatrix} = \Delta 4$$

とおき

さらに

(14)の両辺に共役複素ベクトルを乗じて

$$\begin{aligned} & (\Delta_1 + \mu_1 \Delta_2 + \mu_3 \Delta_3) (\overline{\Delta}_1 + \overline{\mu}_2 \overline{\Delta}_2 + \overline{\mu}_3 \overline{\Delta}_3) \\ &= (-\mu_4 \Delta_4) (-\overline{\mu}_4 \overline{\Delta}_4) \\ &\equiv \mu_4 \overline{\mu}_4 \Delta_4 \overline{\Delta}_4 \end{aligned}$$

ここで $\mu_4 \overline{\mu}_4 = 1$ なれば

同じく(15)より

ついで(16)より

$$\left. \begin{aligned} C_1 &= \Delta_3 (\overline{\Delta}_1 + \overline{\Delta}_2 \overline{\mu}_2) \\ d_1 &= \overline{\Delta}_1 \Delta_2 \mu_2 + \Delta_1 \overline{\Delta}_2 \overline{\mu}_2 + N \end{aligned} \right\} \dots \quad (19)$$

同上 <(17) > n

ただし

$$\left. \begin{aligned} C_2 &= \mathbf{A}'_3 (\overline{\mathbf{A}'_1 + \mathbf{A}'_2} \overline{\boldsymbol{\mu}_2}) \\ \mathbf{d}_2 &= \overline{\mathbf{A}'_1} \mathbf{A}'_2 \boldsymbol{\mu}_2 + \mathbf{A}'_1 \overline{\mathbf{A}'_2} \overline{\boldsymbol{\mu}_2} + N' \\ N' &= \mathbf{A}'_1 \overline{\mathbf{A}'_1} + \mathbf{A}'_2 \overline{\mathbf{A}'_2} + \mathbf{A}'_3 \overline{\mathbf{A}'_3} - \mathbf{A}'_4 \overline{\mathbf{A}'_4} \end{aligned} \right\} \quad \dots \quad (21)$$

d_1, d_2 は共に実数であるから、(18), (20)から

$$\boldsymbol{\mu}_3 = -\frac{\begin{vmatrix} \mathbf{d}_1 & \overline{C}_1 \\ \mathbf{d}_2 & \overline{C}_2 \\ C_1 & C_1 \\ C_2 & \overline{C}_2 \end{vmatrix}}{\begin{vmatrix} C_1 & \mathbf{d}_1 \\ C_2 & \mathbf{d}_2 \\ C_1 & C_1 \\ C_2 & \overline{C}_2 \end{vmatrix}}, \quad \overline{\boldsymbol{\mu}}_3 = -\frac{\begin{vmatrix} C_1 & \mathbf{d}_1 \\ C_2 & \mathbf{d}_2 \\ C_1 & C_1 \\ C_2 & \overline{C}_2 \end{vmatrix}}{\begin{vmatrix} C_1 & \mathbf{d}_1 \\ C_2 & \overline{C}_2 \\ C_1 & C_1 \\ C_2 & \overline{C}_2 \end{vmatrix}} \quad \dots \quad (22)$$

$$|\boldsymbol{\mu}_3|^2 = \boldsymbol{\mu}_3 \overline{\boldsymbol{\mu}}_3 = 1 \quad \text{なれば}$$

(22)より

$$\begin{aligned} K_1 \overline{K}_1 + K_2 \overline{K}_2 + K_3 \overline{K}_3 + K_4 \overline{K}_4 - 4K_6^2 - 2K_5 \overline{K}_5 \\ + (K_1 \overline{K}_2 + \overline{K}_2 \overline{K}_3 + K_3 \overline{K}_4 + 4iK_5 K_6) \boldsymbol{\mu}_2 \\ + (K_1 \overline{K}_2 + K_2 \overline{K}_3 + K_3 \overline{K}_4 - 4iK_5 K_6) \overline{\boldsymbol{\mu}}_2 \\ + (\overline{K}_1 K_3 + \overline{K}_2 K_4 + K_5 \overline{K}_5) \boldsymbol{\mu}_2^2 + (\overline{K}_1 K_3 + \overline{K}_2 K_4 + K_5 \overline{K}_5) \overline{\boldsymbol{\mu}}_2^2 \\ + K_1 \overline{K}_4 \boldsymbol{\mu}_2^3 + \overline{K}_1 K_4 \overline{\boldsymbol{\mu}}_2^3 = 0 \end{aligned} \quad \dots \quad (23)$$

ここで

$$\left. \begin{aligned} K_1 &= \overline{\mathbf{A}'_1} (\mathbf{A}'_2 \mathbf{A}'_3 - \mathbf{A}'_2 \mathbf{A}'_3) \\ K_2 &= \mathbf{A}'_3 \overline{\mathbf{A}'_1} N' - \overline{\mathbf{A}'_3} \mathbf{A}'_1 N + \mathbf{A}'_2 \mathbf{A}'_3 \overline{\mathbf{A}'_2} \overline{\mathbf{A}'_1} - \mathbf{A}'_2 \overline{\mathbf{A}'_1} \mathbf{A}'_3 \overline{\mathbf{A}'_2} \\ K_3 &= \mathbf{A}'_3 \overline{\mathbf{A}'_2} N' - \overline{\mathbf{A}'_2} \mathbf{A}'_3 N + \mathbf{A}'_2 \mathbf{A}'_3 \overline{\mathbf{A}'_1} \mathbf{A}'_1 - \mathbf{A}'_1 \mathbf{A}'_2 \overline{\mathbf{A}'_1} \mathbf{A}'_3 \\ K_4 &= \mathbf{A}'_3 \overline{\mathbf{A}'_2} \mathbf{A}'_1 \overline{\mathbf{A}'_2} - \mathbf{A}'_1 \mathbf{A}'_3 \overline{\mathbf{A}'_2} \overline{\mathbf{A}'_2} \\ K_5 &= \mathbf{A}'_2 \mathbf{A}'_3 \overline{\mathbf{A}'_1} \overline{\mathbf{A}'_3} - \mathbf{A}'_2 \overline{\mathbf{A}'_3} \mathbf{A}'_3 \overline{\mathbf{A}'_1} \\ K_6 &= \mathbf{A}'_3 \overline{\mathbf{A}'_3} (\overline{\mathbf{A}'_1} \mathbf{A}'_1 + \mathbf{A}'_2 \overline{\mathbf{A}'_2}) \text{の虚数部} \end{aligned} \right\} \quad \dots \quad (24)$$

とおく。

一般に $K + \overline{K} = 2 \times (K \text{の実数部})$ なれば

(23)は

$$\{(P_1 \boldsymbol{\mu}_2^3 + P_2 \boldsymbol{\mu}_2^2 + P_3 \boldsymbol{\mu}_2) \text{の実数部}\} + t = 0 \quad \dots \quad (25)$$

となる。

(25)で

$$\left. \begin{aligned} P_1 &= K_1 \overline{K}_4 \\ P_2 &= K_1 \overline{K}_3 + K_2 \overline{K}_4 + K_5 \overline{K}_5 \\ P_3 &= K_1 \overline{K}_2 + K_2 \overline{K}_3 + K_3 \overline{K}_4 + 4iK_4 K_5 \\ t &= \frac{1}{2} (K_1 \overline{K}_1 + K_2 \overline{K}_2 + K_3 \overline{K}_3 + K_4 \overline{K}_4 - 4 \times K_6^2 - 2 \times K_5 \overline{K}_5) \end{aligned} \right\} \quad \dots \quad (26)$$

$$(25) \text{で } \mu_2^3 = e^{3i\theta_2}, \mu_2^2 = e^{2i\theta_2}, \mu_2 = e^{i\theta_2}$$

なれば

$$P_{1x} \cos 3\theta_2 - P_{1y} \sin 3\theta_2 + P_{2x} \cos 2\theta_2 - P_{2y} \sin 2\theta_2 + P_{3x} \cos \theta_2 - P_{3y} \sin \theta_2 + P_4 = 0 \dots \dots \dots (27)$$

P_4 は t に相当している。 (26) で $\tan(\theta_2/2) = \tau$ とおくと

$$\begin{aligned} \cos \theta_2 &= \frac{1-\tau^2}{1+\tau^2}, & \sin \theta_2 &= \frac{2\tau}{1+\tau^2} \\ \cos 2\theta_2 &= \frac{1-6\tau^2+\tau^4}{(1+\tau^2)^4}, & \sin 2\theta_2 &= \frac{4\tau(1-\tau^2)}{(1-\tau^2)^2} \\ \cos 3\theta_2 &= \frac{(1-\tau^2)(1-14\tau^2+\tau^4)}{(1+\tau^2)^3}, & \sin 3\theta_2 &= \frac{2\tau(3-10\tau^2+3\tau^4)}{(1+\tau^2)^3} \end{aligned}$$

これらの値を (27) に入れると、

$$\tau^5 + a_4\tau^4 + a_3\tau^3 + a_2\tau^2 + a_1\tau + a_0 = 0 \dots \dots \dots (28)$$

となる。ここで $a_4 \sim a_0$ の値は、つぎのように与えられる。

$$\begin{aligned} a_4 &= \frac{-6P_{1y}+4P_{2y}-2P_{3y}}{-P_{1x}+P_{2x}-P_{3x}+P_{4x}}, & a_3 &= \frac{15P_{1x}-5P_{2x}+P_{3x}3P_{4x}}{-P_{1x}+P_{2x}-P_{3x}+P_{4x}} \\ a_2 &= \frac{20P_{1y}-4P_{3y}}{-P_{1x}+P_{2x}-P_{3x}+P_{4x}}, & a_1 &= \frac{15P_{1x}-5P_{2x}-P_{3x}+3P_{4x}}{-P_{1x}+P_{2x}-P_{3x}+P_{4x}} \\ a_0 &= \frac{-6P_{1y}-4P_{2y}-2P_{3y}}{-P_{1x}+P_{2x}-P_{3x}+P_{4x}} \end{aligned}$$

ここで、 $P_{1x}, P_{1y}, P_{2x}, P_{2y}, P_{3x}, P_{3y}$ の各値は、(26) で

$$P_1 = P_{1x} + iP_{1y}$$

$$P_2 = P_{2x} + iP_{2y}$$

$$P_3 = P_{3x} + iP_{3y}$$

として、求められる。

(28) は、5次の方程式なれば、「ヒチコック・ベアストウ」の方法で近似根を求め、その実根の一つを τ_1 とおくと、

$$\left. \begin{aligned} \mu_{2x} &= \cos(2 \tan^{-1} \tau_1) \\ \mu_{2y} &= \sin(2 \tan^{-1} \tau_1) \end{aligned} \right\} \dots \dots \dots (29)$$

ついで、(16), (17) から μ_{3x}, μ_{3y} を求めると、

$$\mu_{3x} = \frac{q_{2y} q_{3x} - q_{1y} q_{4x}}{2(q_{1y} q_{2x} - q_{1x} q_{2y})}, \quad \mu_{3y} = \frac{q_{2x} q_{3x} - q_{1x} q_{4x}}{2(q_{1y} q_{2x} - q_{1x} q_{2y})} \dots \dots \dots (30)$$

ここで、 $q_{1x}, q_{1y}, q_{2x}, q_{2y}, q_{3x}, q_{4x}$ の各値はつぎのように与えられる。

$$q_{1x} = \mu_{2x} (\Delta_{3x}\Delta_{2x} + \Delta_{3y}\Delta_{2y}) + \mu_{2y} (\Delta_{2x}\Delta_{3y} - \Delta_{2y}\Delta_{3x}) + \Delta_{3x}\Delta_{1x} + \Delta_{3y}\Delta_{1y}$$

$$q_{1y} = \mu_{2x} (\Delta_{2x}\Delta_{3y} + \Delta_{3y}\Delta_{2y}) + \mu_{2y} (\Delta_{2x}\Delta_{3x} - \Delta_{3y}\Delta_{2y}) + \Delta_{1x}\Delta_{3y} + \Delta_{3x}\Delta_{1y}$$

$$q_{2x} = \mu_{2x} (\Delta'_{2x}\Delta'_{3x} + \Delta'_{2y}\Delta'_{3y}) + \mu_{2y} (\Delta'_{2x}\Delta'_{3y} - \Delta'_{2y}\Delta'_{3x}) + \Delta'_{3x}\Delta'_{1x} + \Delta'_{1y}\Delta'_{3y}$$

$$q_{2y} = \mu_{2x} (\Delta'_{2x}\Delta'_{3y} + \Delta'_{2y}\Delta'_{3x}) + \mu_{2y} (\Delta'_{2x}\Delta'_{3x} - \Delta'_{3y}\Delta'_{2y}) + \Delta'_{1x}\Delta'_{3y} + \Delta'_{3y}\Delta'_{1y}$$

$$q_{3x} = 2\mu_{2x} (\Delta_{2x}\Delta_{1y} + \Delta_{1x}\Delta_{2y}) + 2\mu_{2y} (\Delta_{1x}\Delta_{2x} - \Delta_{1y}\Delta_{2y}) + N$$

$$q_{4x} = 2\mu_{2x}(\Delta'_{2x}\Delta'_{1y} + \Delta'_{1x}\Delta'_{2y}) + 2\mu_{2y}(\Delta'_{1x}\Delta'_{2x} - \Delta'_{1y}\Delta'_{2y}) + N'$$

同じように、(14)から

(3)で $S_1 = \Delta_{1x} + \Delta_{2x} \mu_{2x} - \Delta_{2y} \mu_{2y} + \Delta_{3x} \mu_{3x} - \Delta_{3y} \mu_{3y}$

$$S_2 = \Delta_{1y} + \Delta_{2x} \mu_{2y} + \Delta_{2y} \mu_{2x} + \Delta_{3x} \mu_{3y} + \Delta_{3y} \mu_{3x}$$

同様に、(15)から

(32)で $S'_1 = \Delta'_{1x} + \Delta'_{2x} \mu_{2x} \Delta'_{1y} \mu_{2y} + \Delta'_{3x} \mu_{3x} - \Delta'_{3y} \mu_{3y}$

$$S'_2 = \mathcal{A}'_{1y} + \mathcal{A}'_{2x} \mu_{2y} + \mathcal{A}'_{2y} \mu_{2y} \mu_{2x} + \mathcal{A}'_{3x} \mu_{3y} + \mathcal{A}'_{3y} \mu_{3y}$$

とする。

(4)から

$$\left. \begin{aligned} \delta_{jx} &= Z_{31x}(\mu_{jx}-1) - Z_{31y}\mu_{jy} + Z_{21x}(\nu_{jx}-1) + Z_{21y}\nu_{jy} \\ \delta_{jy} &= Z_{31x}\mu_{jy} + Z_{31y}(\mu_{jx}-1) + Z_{21x}\nu_{jy} + Z_{21y}(\nu_{jx}-1) \end{aligned} \right\} \quad \dots \quad (33)$$

か得られ、厳正点に相應する、 $J = 2, 3, 4, 5$ の4個でつぎの式が得られる。

$$\left. \begin{array}{l} Z_{31x}(\mu_{2x}-1) - Z_{31y}\mu_{2y} + Z_{21x}(\nu_{2x}-1) - Z_{21y}\nu_{2y} = \delta_{2x} \\ Z_{31x}\mu_{2y} + Z_{31y}(\mu_{2y}-1) + Z_{21x}\nu_{2x} + Z_{21y}(\nu_{2x}-1) = \delta_{2x} \\ Z_{31x}(\mu_{3x}-1) - Z_{31y}\mu_{3y} + Z_{21x}(\nu_{3x}-1) - Z_{21y}\nu_{3y} = \delta_{3x} \\ Z_{31x}\mu_{3y} + Z_{31y}(\mu_{3x}-1) + Z_{21x}\nu_{3y} + Z_{21y}(\nu_{3x}-1) = \delta_{3x} \\ Z_{31x}(\mu_{4x}-1) - Z_{31y}\mu_{4y} + Z_{21x}(\nu_{4x}-1) - Z_{21y}\nu_{4y} = \delta_{2x} \\ Z_{31x}\mu_{4y} + Z_{31y}(\mu_{4y}-1) + Z_{21x}\nu_{4x} + Z_{21y}(\nu_{4x}-1) = \delta_{4x} \\ Z_{31x}(\mu_{5x}-1) - Z_{31y}\mu_{5y} + Z_{21x}(\nu_{5x}-1) - Z_{21y}\nu_{5y} = \delta_{5x} \\ Z_{31x}\mu_{5y} + Z_{31y}(\mu_{5y}-1) + Z_{21x}\nu_{5y} + Z_{21y}(\nu_{5x}-1) = \delta_{5y} \end{array} \right\} \dots \quad (34)$$

上記の 8 個の式で、係数だけの行列のランクと、 δ_{jx} を含めた全数の行列のランクは、同数になるから、第 1 式から第 4 式まで、連立させて $Z_{1x}, Z_{2y}, Z_{2x}, Z_{2y}$ を求めると、これらの値は何れも 5 式以下も満足させる。

図-2より、初期の値は

$$\mathbf{L}_1 = \mathbf{Z}_{6C} + \mathbf{Z}_{51} + \mathbf{Z}_{41} \quad \dots \dots \dots \quad (35)$$

θ_{5j} の角変位によって

$$\mathbf{L}_j = \mathbf{Z}_{6c} + \mathbf{Z}_{5j} + \mathbf{Z}_{4j} \quad \dots \dots \dots \quad (36)$$

(2)の L_j の変位 δ_j はつぎのようにも示される。

ただし

$$\lambda_j = e^{i(\theta_{5j} - \theta_{51})}, \quad \sigma_j = e^{i(\theta_{4j} - \theta_{41})}$$

(37) より

$$\left. \begin{array}{l} \delta_2 = Z_{51}(\lambda_2 - 1) + Z_{41}(\sigma_2 - 1) \\ \delta_3 = Z_{51}(\lambda_3 - 1) + Z_{41}(\sigma_3 - 1) \\ \delta_4 = Z_{51}(\lambda_4 - 1) + Z_{41}(\sigma_4 - 1) \\ \delta_5 = Z_{51}(\lambda_5 - 1) + Z_{41}(\sigma_5 - 1) \end{array} \right\} \dots \quad (38)$$

(38)で左辺は(11)の左辺と同じであり、 λ_j は図-3 の変位線図の角変位量から求められ、(38)からつぎの(39), (40)が得られる。

$$\begin{vmatrix} \sigma_2 - 1 & \lambda_2 - 1 & \delta_2 \\ \sigma_3 - 1 & \lambda_3 - 1 & \delta_3 \\ \sigma_4 - 1 & \lambda_4 - 1 & \delta_4 \end{vmatrix} = 0 \quad \dots \dots \dots \quad (39)$$

(39), (40)から

$$\left. \begin{array}{l} \Omega_1 + \sigma_2 \Omega_2 + \sigma_3 \Omega_3 + \sigma_4 \Omega_4 = 0 \\ \Omega'_1 + \sigma_2 \Omega'_2 + \sigma_3 \Omega'_3 + \sigma_4 \Omega'_4 = 0 \end{array} \right\} \quad \dots \quad (41)$$

(41)で

$$\begin{aligned}\boldsymbol{\Omega}_2 &= \begin{vmatrix} \lambda_3 - 1 & \boldsymbol{\delta}_3 \\ \lambda_4 - 1 & \boldsymbol{\delta}_4 \end{vmatrix}, \quad \boldsymbol{\Omega}_3 = \begin{vmatrix} \lambda_4 - 1 & \boldsymbol{\delta}_4 \\ \lambda_2 - 1 & \boldsymbol{\delta}_2 \end{vmatrix}, \\ \boldsymbol{\Omega}_4 &= \begin{vmatrix} \lambda_2 - 1 & \boldsymbol{\delta}_2 \\ \lambda_3 - 1 & \boldsymbol{\delta}_3 \end{vmatrix}, \quad \boldsymbol{\Omega}_1 = -(\boldsymbol{\Omega}_2 + \boldsymbol{\Omega}_3 + \boldsymbol{\Omega}_4) \\ \boldsymbol{\Omega}'_2 &= \begin{vmatrix} \lambda_3 - 1 & \boldsymbol{\delta}_3 \\ \lambda_5 - 1 & \boldsymbol{\delta}_5 \end{vmatrix}, \quad \boldsymbol{\Omega}'_3 = \begin{vmatrix} \lambda_5 - 1 & \boldsymbol{\delta}_5 \\ \lambda_2 - 1 & \boldsymbol{\delta}_2 \end{vmatrix}, \\ \boldsymbol{\Omega}'_1 &= -(\boldsymbol{\Omega}'_2 \boldsymbol{\Omega}'_3 + \boldsymbol{\Omega}_4)\end{aligned}$$

とおかれ、前出の(16)から(27)までと同じような過程によって

$b_4 \sim b_1$ の各値は、(28)の $a_4 \sim a_1$ に、 ρ は τ に相当し、 $\rho = \tan(\theta_4/2)$ で与えられる。(42)の実根の一個を ρ_1 とおくと

(30)と同様に、 σ_{3x} , σ_{3y} はつぎのように考えられる。

$$\left. \begin{aligned} \sigma_{3x} &= \frac{W_{2y}}{2(W_{1y})} \frac{W_{3x} - W_{1y}}{W_{2x} - W_{1x}} \frac{W_{4x}}{W_{2y}} \\ \sigma_{3y} &= \frac{W_{2x}}{2(W_{1y})} \frac{W_{3x} - W_{1x}}{W_{2x} - W_{1x}} \frac{W_{4x}}{W_{2y}} \end{aligned} \right\} \dots \quad (44)$$

(44)の $W_{1x}, W_{1y}, W_{2x}, W_{2y}, W_{3x}, W_{4x}$ は、それぞれ(30)の $q_{1x}, q_{1y}, q_{2x}, q_{2y}, q_{3x}, q_{4x}$ に相当する。

(43), (44) の σ_{2x} , σ_{2y} , σ_{3x} , σ_{3y} の(41)から, σ_{4x} , σ_{4y} , σ_{5x} , σ_{5y} をつぎのように求めることができる。

$$\left. \begin{aligned} \sigma_{4x} &= \frac{H_1 \Omega_{4x} + H_2 \Omega_{4y}}{\Omega_{4x}^2 + \Omega_{4y}^2} \\ \sigma_{4y} &= -\frac{H_2 \Omega_{4x} + H_1 \Omega_{4y}}{\Omega_{4x}^2 + \Omega_{4y}^2} \end{aligned} \right\} \dots \quad (45)$$

$$\left. \begin{aligned} \sigma_{5x} &= \frac{H'_1 \Omega'_{4x} + H'_2 \Omega'_{4y}}{\Omega'_{4x}^2 + \Omega'_{4y}^2} \\ \sigma_{5y} &= -\frac{H'_2 \Omega'_{4x} + H'_1 \Omega'_{4y}}{\Omega'_{4x}^2 + \Omega'_{4y}^2} \end{aligned} \right\} \quad \dots \quad (46)$$

H_1 , H_2 , H'_1 , H'_2 はそれぞれ(31), (32)の S_1 , S_2 , S_3 , S'_1 , S'_2 に相当する。

(38) から

$$\left. \begin{aligned} \delta_{jx} &= Z_{51x}(\lambda_{jx}-1) - Z_{51y}\lambda_{jy} + Z_{41x}(\sigma_{jx}-1) - Z_{41y}\sigma_{jy} \\ \delta_{jy} &= Z_{51x}\lambda_{jy} + Z_{51y}(\lambda_{jx}-1) + Z_{41x}\sigma_{jy} + Z_{41y}(\sigma_{jx}-1) \end{aligned} \right\} \quad \dots \quad (47)$$

が求められ、厳正点に相当する、 $J = 2, 3, 4, 5$ の 4 点でつきの 8 個の式が得られる。

$$\left. \begin{array}{l} Z_{51x}(\lambda_{2x}-1) - Z_{51y}\lambda_{2y} + Z_{4x}(\sigma_{2x}-1) - Z_{41y}\sigma_{2y} = \delta_{2x} \\ Z_{51x}\lambda_{2y} + Z_{51y}(\lambda_{2x}-1) + Z_{41x}\sigma_{2y} + Z_{41y}(\sigma_{2x}-1) = \delta_{2y} \\ Z_{51x}(\lambda_{3x}-1) - Z_{51y}\lambda_{3y} + Z_{41x}(\sigma_{3x}-1) - Z_{41y}\sigma_{3y} = \delta_{3x} \\ Z_{51x}\lambda_{3y} + Z_{51y}(\lambda_{3x}-1) + Z_{41x}\sigma_{3y} + Z_{41y}(\sigma_{3x}-1) = \delta_{3y} \\ Z_{51x}(\lambda_{4x}-1) - Z_{51y}\lambda_{4y} + Z_{41x}(\sigma_{4x}-1) - Z_{41y}\sigma_{4y} = \delta_{4x} \\ Z_{51x}\lambda_{4y} + Z_{51y}(\lambda_{4x}-1) + Z_{41x}\sigma_{4y} + Z_{41y}(\sigma_{4x}-1) = \delta_{4y} \\ Z_{51x}(\lambda_{5x}-1) - Z_{51y}\lambda_{5y} + Z_{41x}(\sigma_{5x}-1) - Z_{41y}\sigma_{5y} = \delta_{5x} \\ Z_{51x}\lambda_{5y} + Z_{51y}(\lambda_{5x}-1) + Z_{41x}\sigma_{5y} + Z_{41y}(\sigma_{5x}-1) = \delta_{5y} \end{array} \right\} \quad \dots \quad (48)$$

上式の第1式～第4式より、 Z_{5x} , Z_{5y} , Z_{4x} , Z_{4y} をそれぞれ求めることができる。しかも、これらの値は、(34)と同じ理由で、第5式以下も満足する。

以上述べたように、(34)と(48)から、 Z_{21} , Z_{31} , Z_{41} , Z_{51} の各リンクの長さが、(3)と(35)から、固定リンク Z_{6a} , Z_{6c} の長さと位置が、 m と比率から Z_{11} (クランクの長さ) が、それぞれ定められる。

3. 計算の結果

表一1に示すような条件のもとで、図一5の P_5 から P'_5 が、ドウエルであるような変位線図を想定する。この線図上の点、 $P_2, P_3, P_4, P_5, P'_5, P'_4, P'_3, P'_2$ はそれぞれ巣正点で、これらの点を通過するような線図を示す6節リンク機構を求めることにする。

Z_{2a} の長さとクランク Z_{11} の長さの比を2.0, 3.0, 4.0の3場合とした。D点の軌跡は、閉曲線であるが、その一部はC点を中心とする円弧となるため、 Z_5 リンクのドウエル運動が得られる。

(8)から(32)までの計算で ν_{jx} から μ_{jy} までの値が、それぞれ2組求められたが、

$1 \geq \nu_{jx} \geq -1, 1 \geq \nu_{jy} \geq -1$ の条件を満足するものは、 m の各値に対して、各々1個求められた。 μ_{jx}, μ_{jy} の各値も同じように、 m の各値に対して、それぞれ1個求めることができた。

又、(37)から(47)までの計算で、 $\lambda_{jx}, \lambda_{jy}$ はリンク Z_6 の揺動角から求められ、 m の各値に対して当然同じである。 σ_{jx}, σ_{jy} は前出の μ_{jx}, μ_{jy} に相当するもので、これらも各 m の値に対して、それぞれ1個求めることができた。

表一2は(34)と(48)に $\nu_{jx}, \nu_{jy}, \mu_{jx}, \mu_{jy}, \lambda_{jx}, \lambda_{jy}, \sigma_{jx}, \sigma_{jy}$ の各値を代入して求めたものである。 Z_{21}, Z_{31}, Z_{6a} の各リンクの長さと位置を、さらに Z_4, Z_5, Z_6 の長さと位置も示し、6節リンク機構全体が求められた。

図一6から図一9は、 $m = 2, 3, 4, 5$ の各場合の機構と、そのクランク回転角に対する従動節

Table. 1 Details of accuracy points

Crank Angle		Follower Angle		
(degree)		θ_{1j}	$\theta_{5j} - \theta_{51}$	$\theta'_{5j} - \theta'_{51}$
θ_{11}	0	θ_{51}	0	
θ_{12}	20	θ_{52}	1.8	
θ_{13}	50	θ_{53}	7.7	
θ_{14}	90	θ_{54}	16.3	
θ_{15}	130	θ_{55}	20.5	
θ'_{15}	230	θ'_{55}		20.5
θ'_{14}	270	θ'_{54}		16.3
θ'_{13}	310	θ'_{53}		7.7
θ'_{12}	340	θ'_{52}		1.8
θ_{11}	360	θ'_{51}		0

Ratio of Z_{2a} to Z_{11} length			
m			
2.0	3.0	4.0	5.0

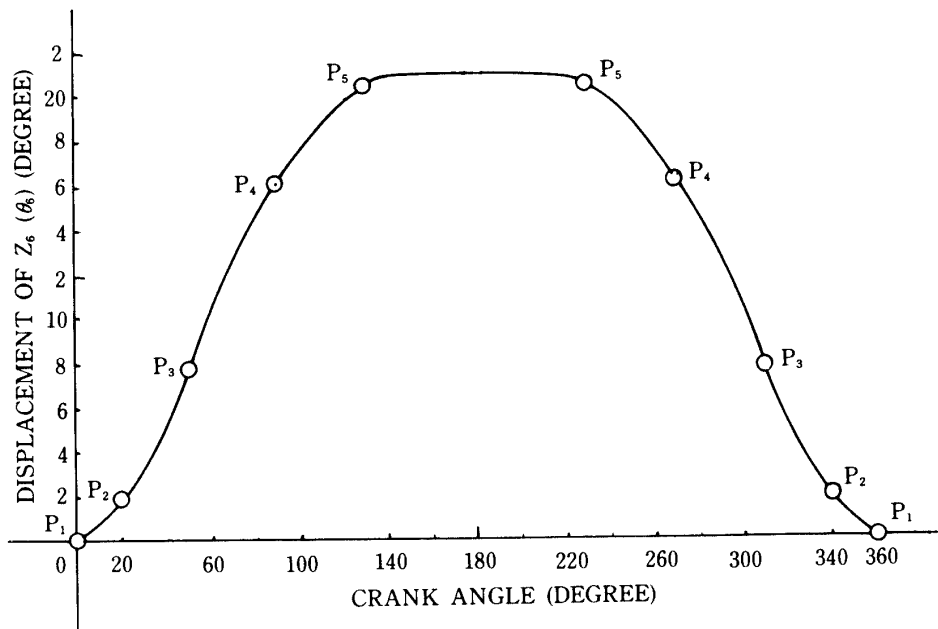


Fig. 5 Eight accuracy points on the input curve.

Table. 2 Positions and lengths of each link.

m	2.0	3.0	4.0	5.0
Z_{31x}	2.263	8.691	5.176	2.198
Z_{31y}	-0.535	-7.939	-4.897	-1.084
$ Z_{31} $	2.326	11.771	7.126	2.444
Z_{21x}	3.476	10.575	7.169	5.619
Z_{21y}	0.879	10.440	8.700	4.790
$ Z_{21} $	3.586	14.862	11.273	7.384
Z_{6a}	2.651	16.155	7.711	2.751
Z_{51x}	1.171	2.753	1.653	0.847
Z_{51y}	7.395	5.649	7.453	9.337
$ Z_{51} $	7.467	6.285	7.729	9.470
Z_{41x}	-1.382	-0.001	-2.156	-6.854
Z_{41y}	4.581	1.619	1.311	4.544
$ Z_{41} $	4.785	1.619	2.528	8.224
Z_{6cx}	-5.607	-6.307	-7.208	-11.793
Z_{6cy}	-2.325	-2.613	-1.843	0.657
$ Z_{6c} $	6.057	6.227	7.439	11.811

ドウエル特性を備えた6節リンク機構

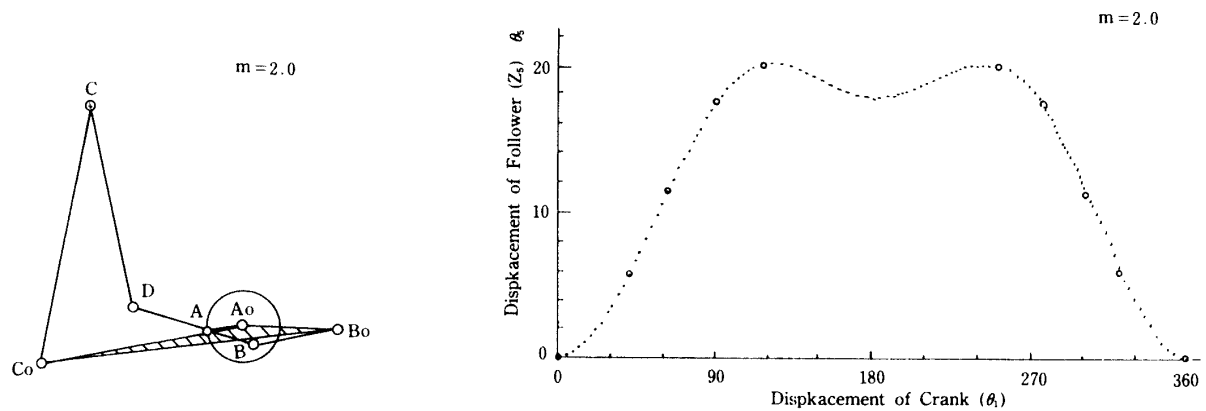


Fig. 6 Dwell link mechanism obtained by computation and its displacement curve. ($m = 2.0$)

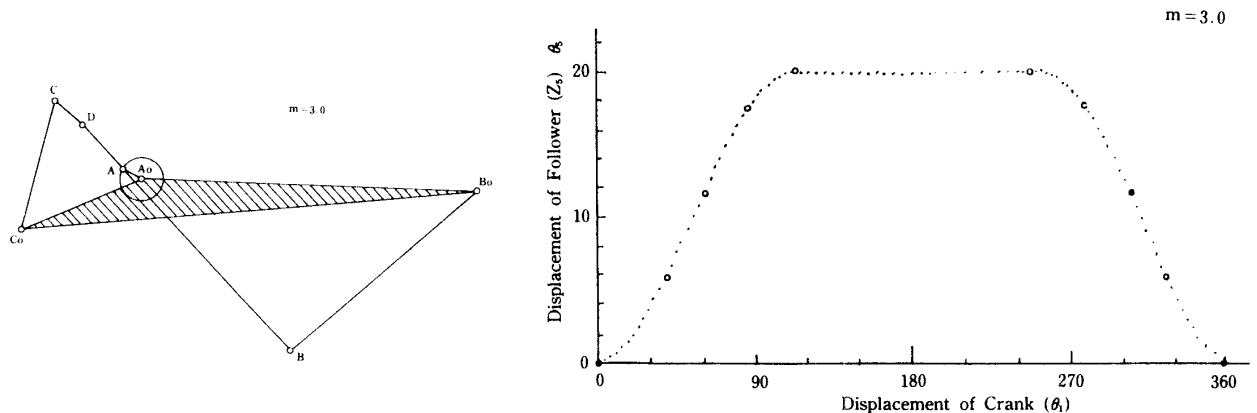


Fig. 7 Dwell link mechanism obtained by computation and its displacement curve. ($m = 3.0$)

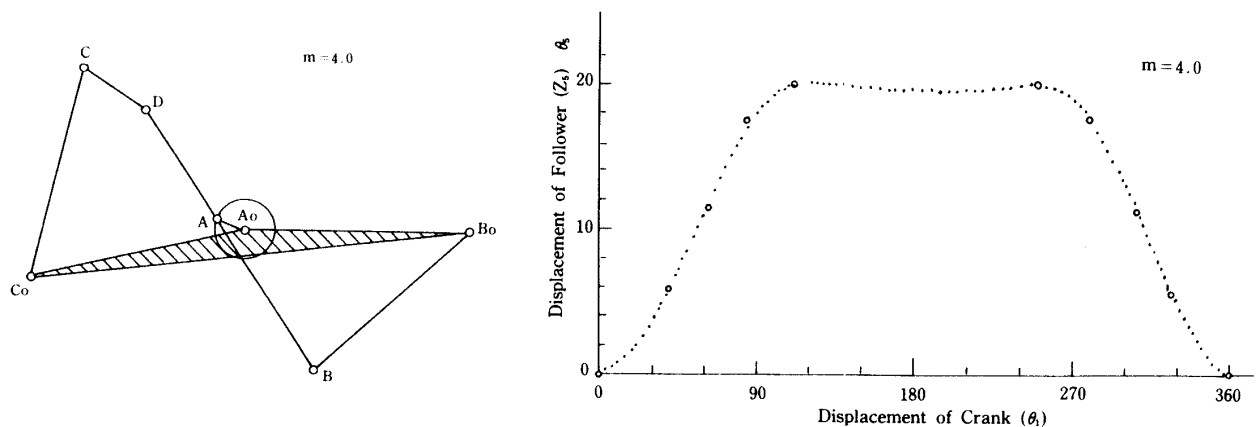


Fig. 8 Dwell link mechanism obtained by computation and its displacement curve. ($m = 4.0$)

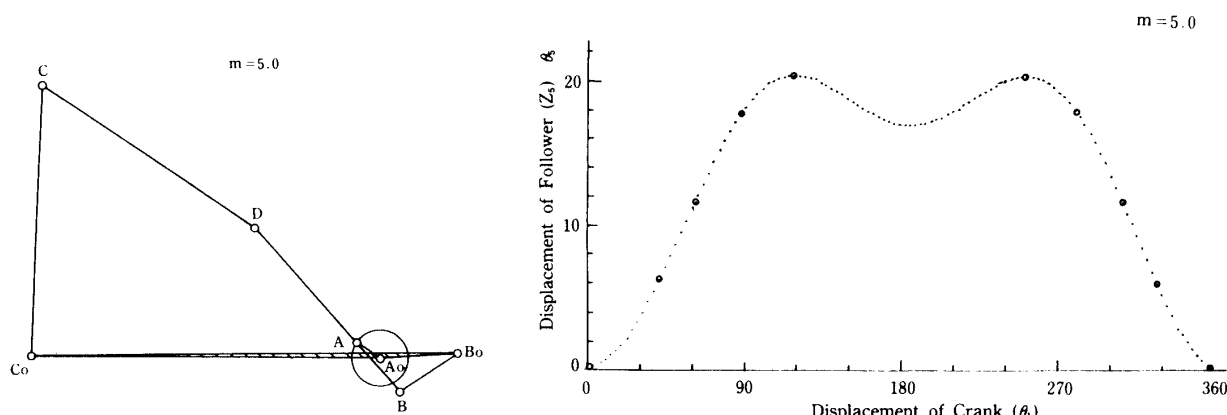


Fig. 9 Dwell link mechanism obtained by computation and its displacement curve. ($m=5.0$)

の変位を示すもので、図上の白丸は厳正点、黒点は図式より得た変位係図の各点である。「ドウエル」を生じているのは、D点の軌跡が閉曲線であって、その一部はC点を中心とする円弧であることから、その円弧上にある期間、D点の動きが止り、C点のドウエル状態を生ずることになる。しかるに、 m の値によって、この円弧の一部が直線状を呈することから、図-6、図-9のように「ドウエル」の期間中に凹状を示すことになる。図-7、図-8は図-5の変位線図とほぼ同じ状態で、全行程を通じ厳正点を通過し、「ドウエル」もほぼ同じ期間生じている。

4. 結 言

1. 「ドウエル」を有する6節リンク機構を構成するに当りて、2組の4つ棒リンク機構を作り、これを中間節 Z_2 の一端Dで、位置ベクトル L_j により連結した。
2. 中間節 Z_2 上でクランクピンの位置 Z_{2a} を定めるため、クランク(Z_1)の長さを基準にした。
3. 本報文の計算例では、 m が3.0~4.0の値の場合、ドウエルを有する変位線図が得られることが、明らかになった。

参 考 文 献

- 1) Richard Hartenberg : "Kinematic Synthesis of Linkage"